

Столяров С.А. гр. 14-302  
 Курсовая работа часть II  
 Анализ периодических сигналов

**1. Выберем численное значение периода сигнала. Запишем аналитическое выражение периодического сигнала и построим его график.**

Одиночный импульс, из которого состоит периодический сигнал:

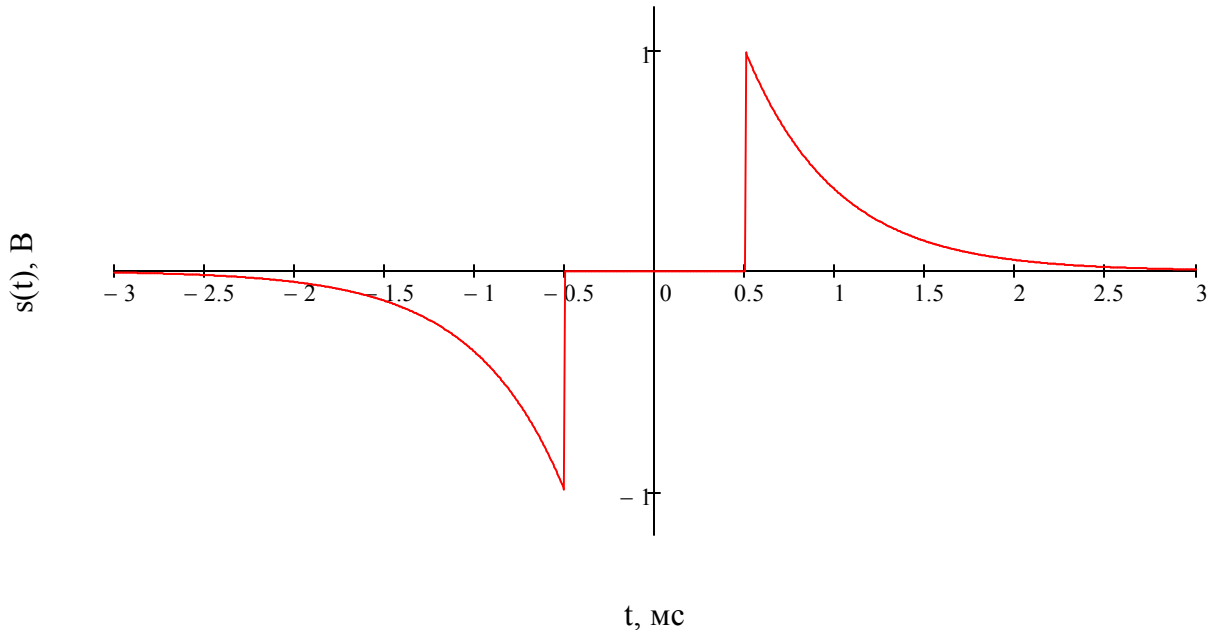
Амплитуда импульса  $A := 1 \text{ В}$

Запаздывание импульса  $\Delta := \frac{1}{2} \text{ мс}$

Постоянная времени импульса  $\alpha := \frac{1}{\Delta} \text{ КГц}$

$$s(t) := \begin{cases} -A \cdot e^{\alpha \cdot (t+\Delta)} & \text{if } t \leq \Delta \\ A \cdot e^{-\alpha \cdot (t-\Delta)} & \text{if } t \geq \Delta \\ 0 & \text{if } |t| < \Delta \end{cases}$$

Одиночный импульс

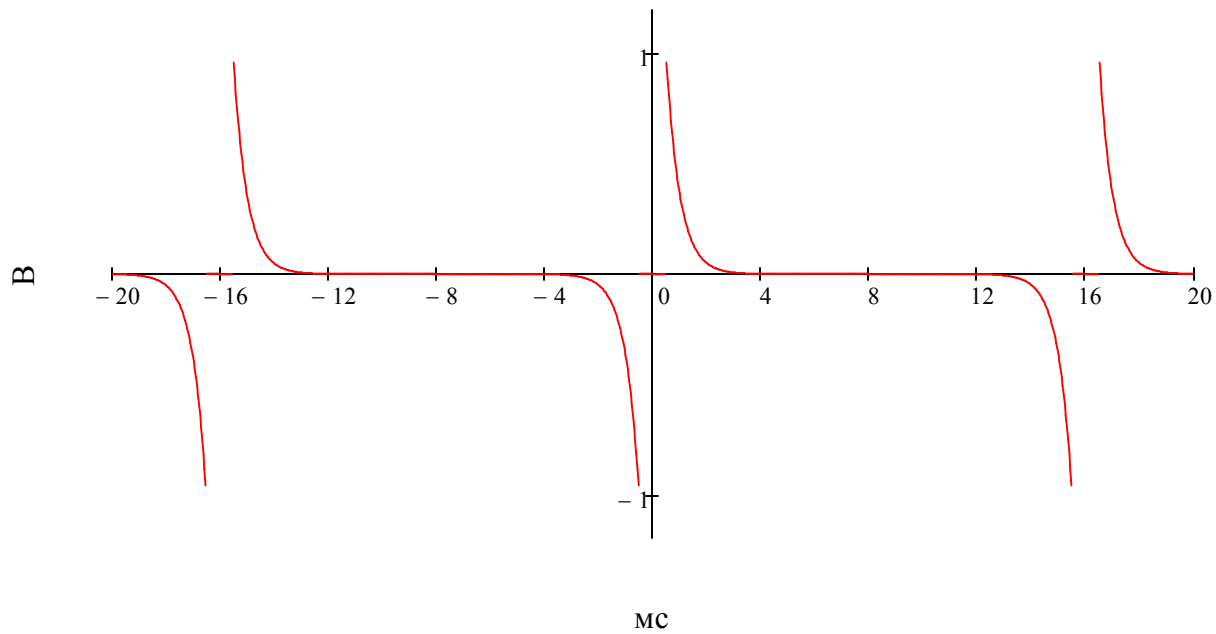


Пусть период сигнала будет в 4 раза больше, чем физическая длительность одиночного импульса. Так как одиночный импульс состоит из двух экспонент, сдвинутых относительно оси ОУ на  $-\Delta$  и  $+\Delta$  влево и вправо соответственно, а физическая длительность экспоненты равна  $3\Delta$ , то его длительность равна  $8\Delta$

$$T := 4 \cdot (8 \cdot \Delta) = 16 \text{ мс}$$

$$s_T(t) := \sum_{m=-10}^{10} s(t - m \cdot T)$$

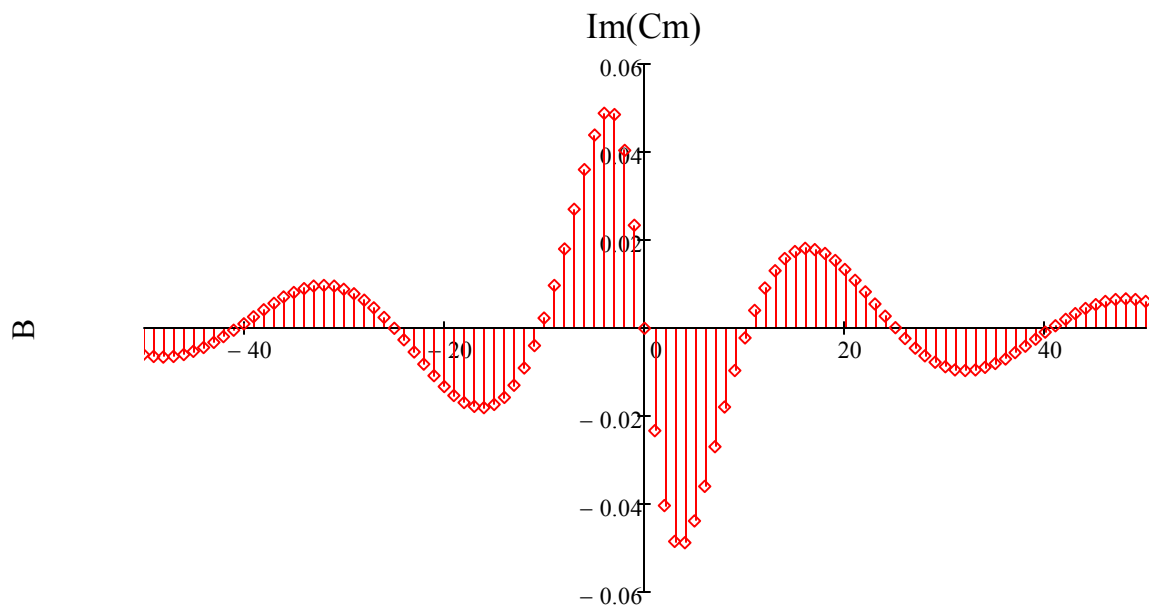
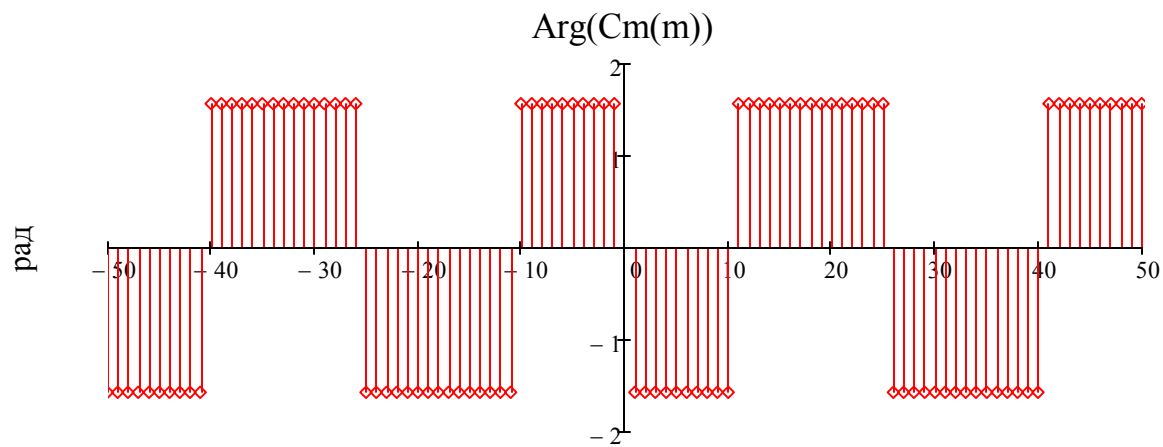
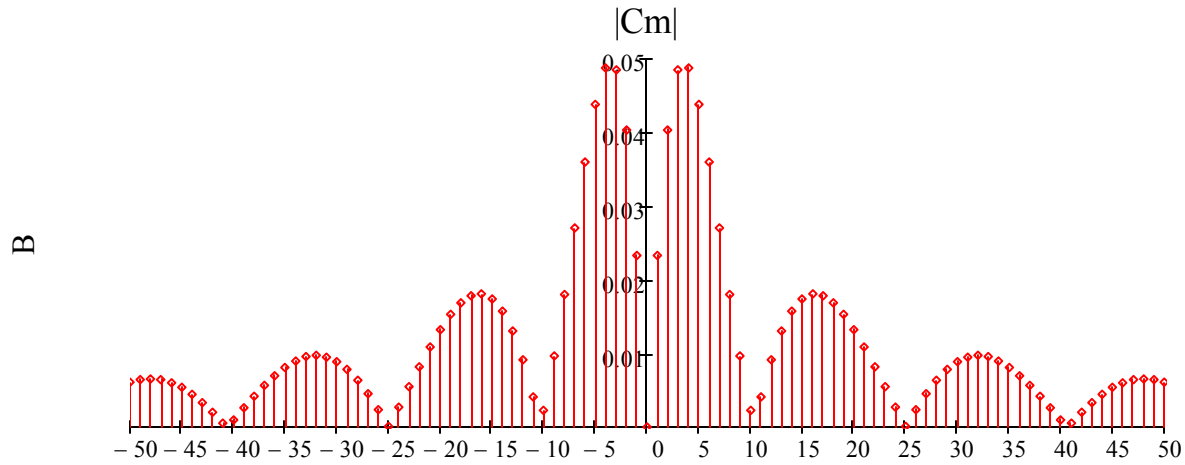
Периодический сигнал



## 2. Спектр периодического сигнала.

Комплексная форма:

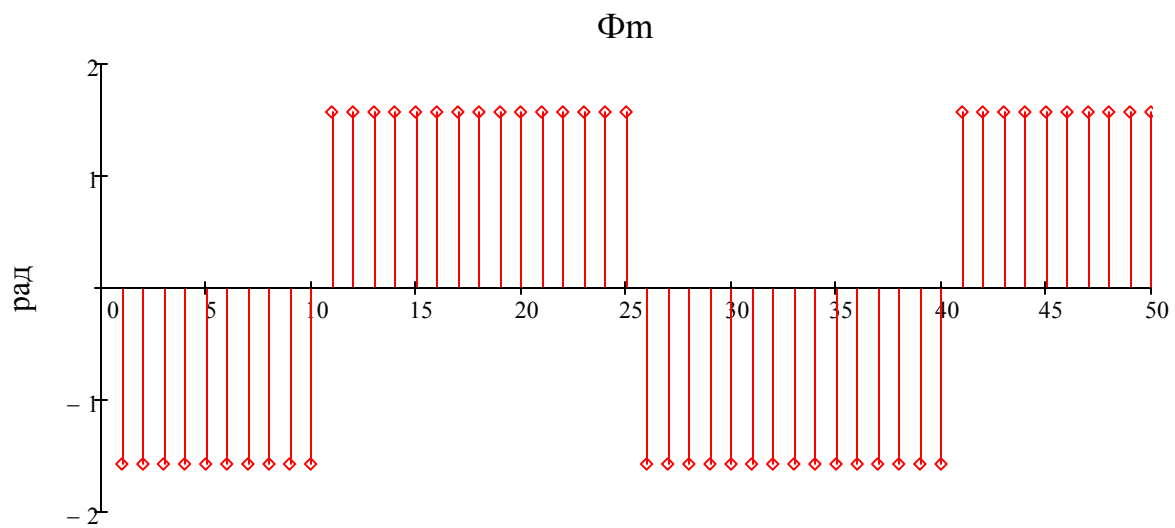
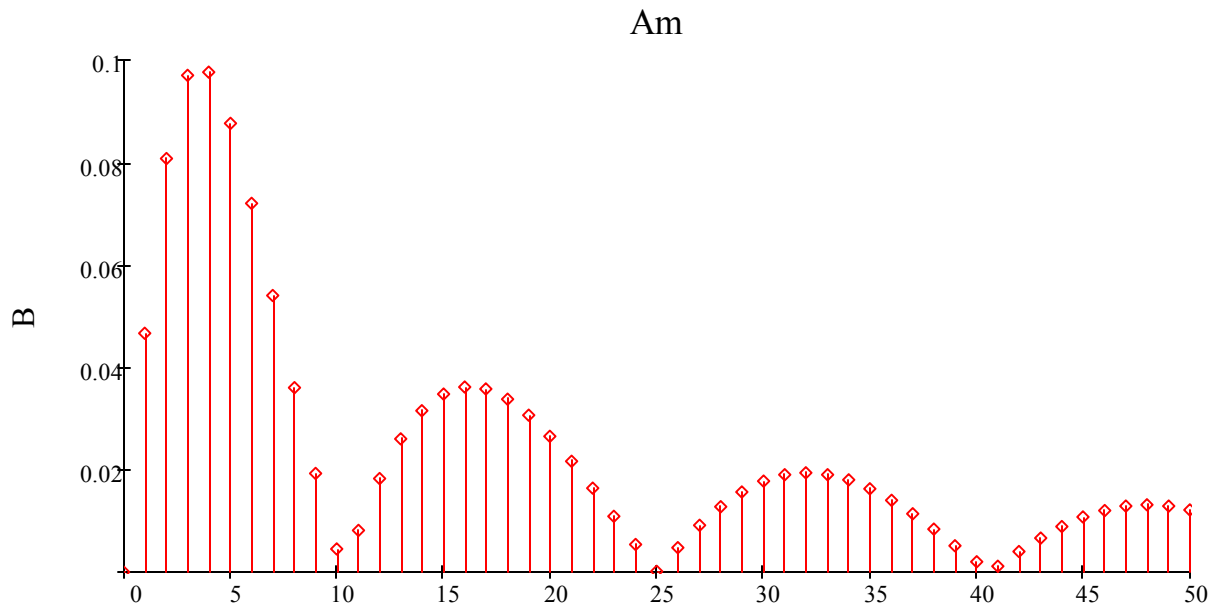
$$C_m(m) := \frac{1}{T} \left[ \frac{-2A \cdot \left( \alpha \sin\left(2\pi \frac{m}{T} \cdot \Delta\right) + 2\pi \frac{m}{T} \cdot \cos\left(2\pi \frac{m}{T} \cdot \Delta\right) \right) \cdot i}{\alpha^2 + \left(2\pi \frac{m}{T}\right)^2} \right] \quad m := -1000..1000$$



Амплитудно-фазовая форма:

$$A_m(m) := \begin{cases} 2 |C_m(m)| & \text{if } m > 0 \\ 0 & \text{if } m < 0 \\ |C_m(m)| & \text{otherwise} \end{cases}$$

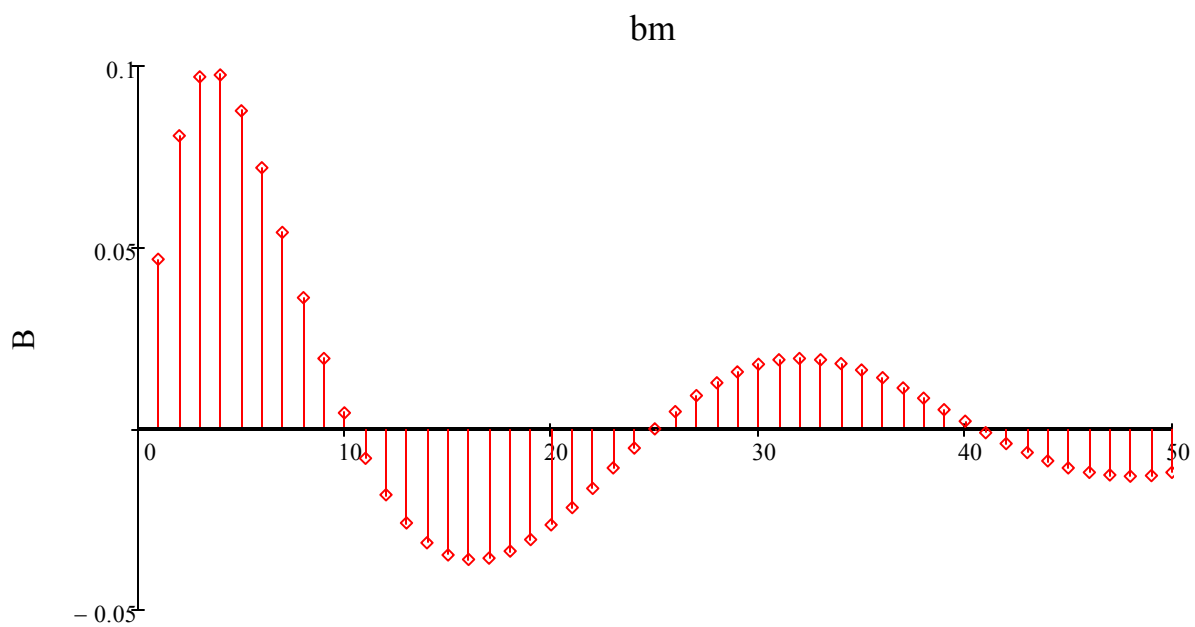
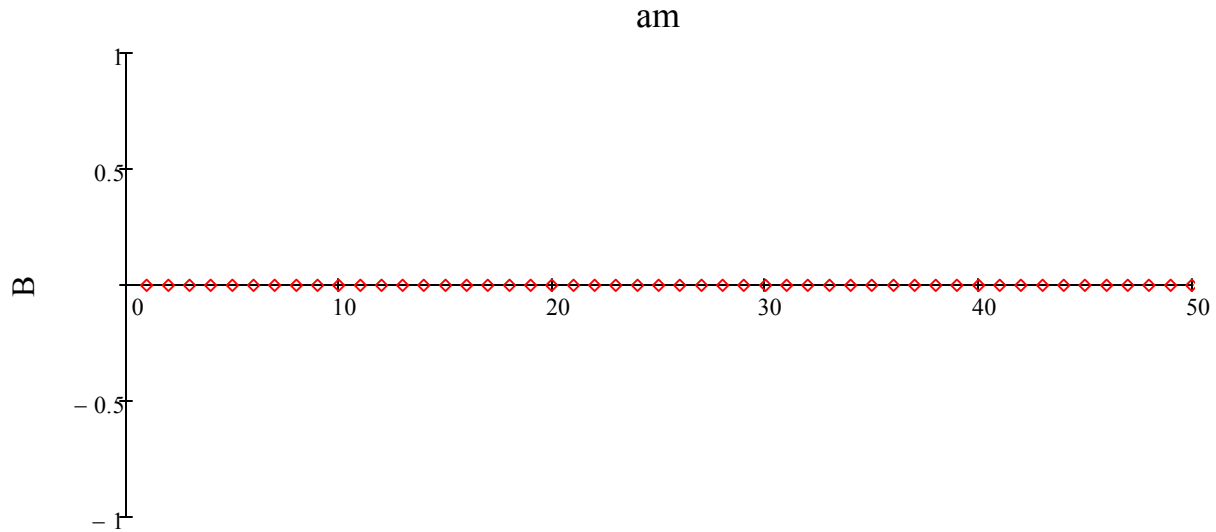
$$\phi_m(m) := \begin{cases} \arg(C_m(m)) & \text{if } m \geq 0 \\ 0 & \text{otherwise} \end{cases}$$



Квадратурная форма:

$$a_m(m) := A_m(m) \cos(\phi_m(m))$$

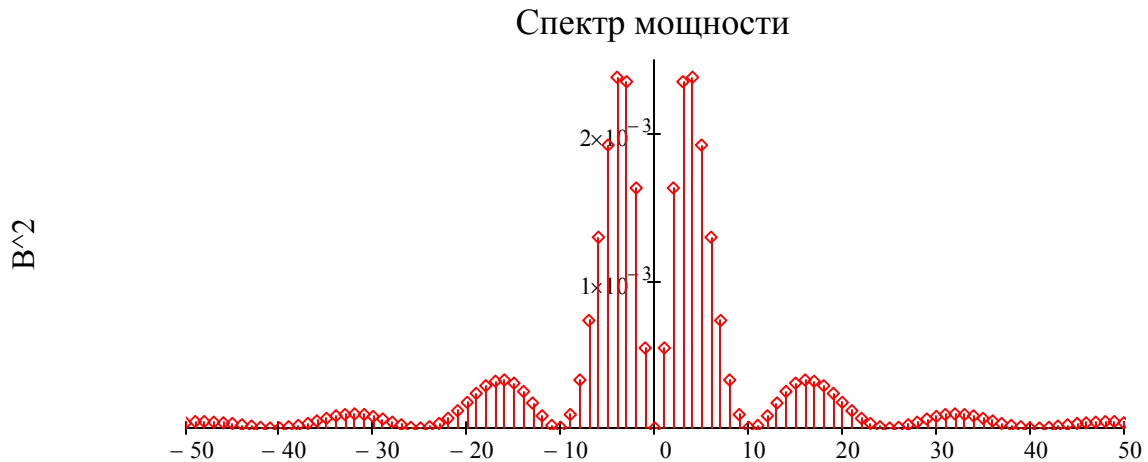
$$b_m(m) := -A_m(m) \sin(\phi_m(m))$$



### 3. Спектр мощности периодического сигнала

$$p_m(m) := (|C_m(m)|)^2$$

$$p_m(m) := \left[ \left| \frac{1}{T} \left[ \frac{-2A \cdot \left( \alpha \sin\left(2\pi \frac{m}{T} \cdot \Delta\right) + 2\pi \frac{m}{T} \cdot \cos\left(2\pi \frac{m}{T} \cdot \Delta\right)\right) \cdot i}{\alpha^2 + \left(2\pi \frac{m}{T}\right)^2} \right] \right|^2 \right]$$



### 4. Средняя мощность периодического сигнала.

Определим среднюю мощность по сигналу:

$$P_{cp} := \frac{1}{T} \cdot \int_{-\frac{T}{2}}^{\frac{T}{2}} (|s_T(t)|)^2 dt = 0.031 B^2$$

Определим среднюю мощность по спектру мощности:

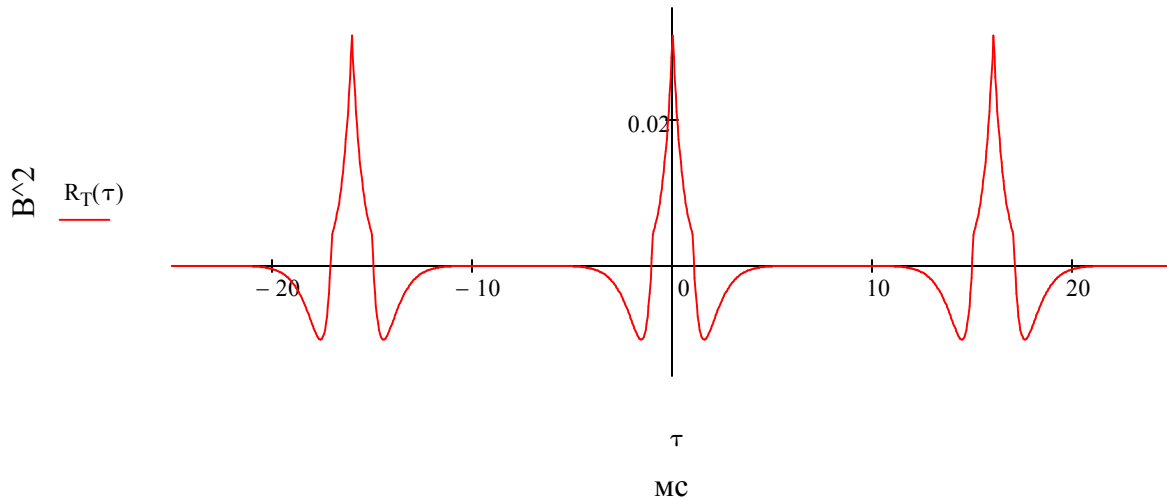
$$P_{cp} := \sum_{m=-1000}^{1000} p_m(m) = 0.031 B^2$$

## 5. АКФ периодического сигнала

АКФ одиночного импульса

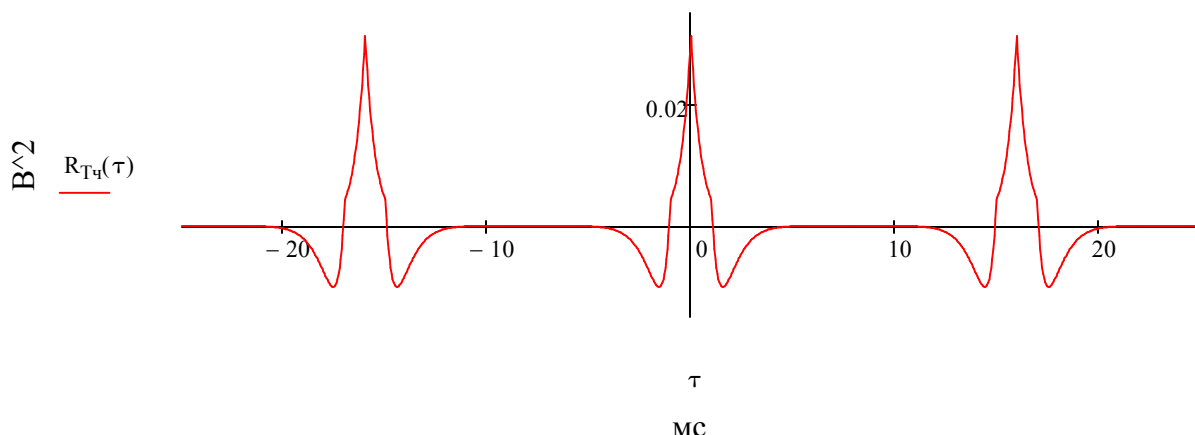
$$R_T(\tau) := \frac{1}{T} \cdot \sum_{n=-1000}^{1000} R(\tau - n \cdot T), \text{ где } R(\tau) := \begin{cases} \frac{A^2}{\alpha} \cdot e^{-\alpha|\tau|} & \text{if } 0 \leq |\tau| \leq 2\Delta \\ \frac{Ae^{-\alpha|\tau|}}{\alpha} - e^{-\alpha(|\tau|-2\Delta)} \cdot (|\tau|-2\Delta) & \text{if } |\tau| > 2\Delta \end{cases}$$

АКФ периодического сигнала



$$R_{Tq}(\tau) := \frac{1}{T} \cdot \int_0^T s_T(t) \cdot s_T(t - \tau) dt$$

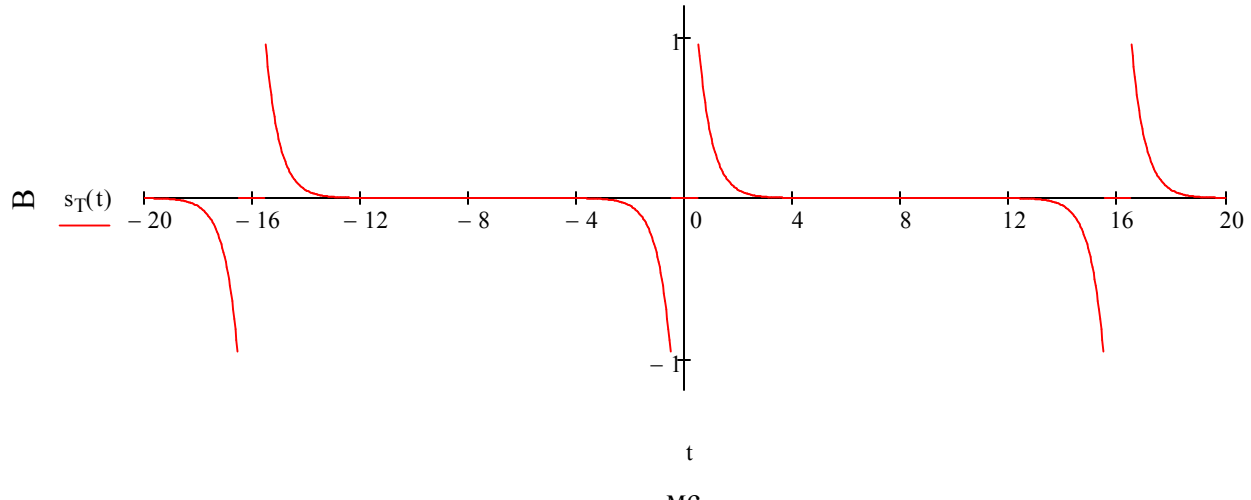
АКФ периодического сигнала, построенная численно



## 6. Исключение периодической составляющей.

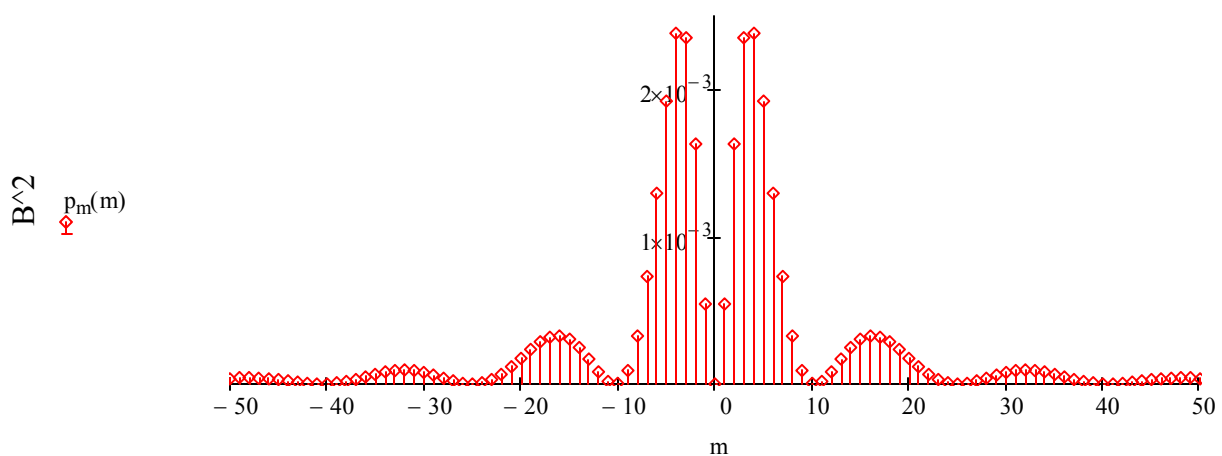
$$s_T(t) := s_T(t) - C_m(0)$$

Периодический сигнал без ПС



$$p_m(m) := (|C_m(m)|)^2 - C_m(0)$$

pm без ПС



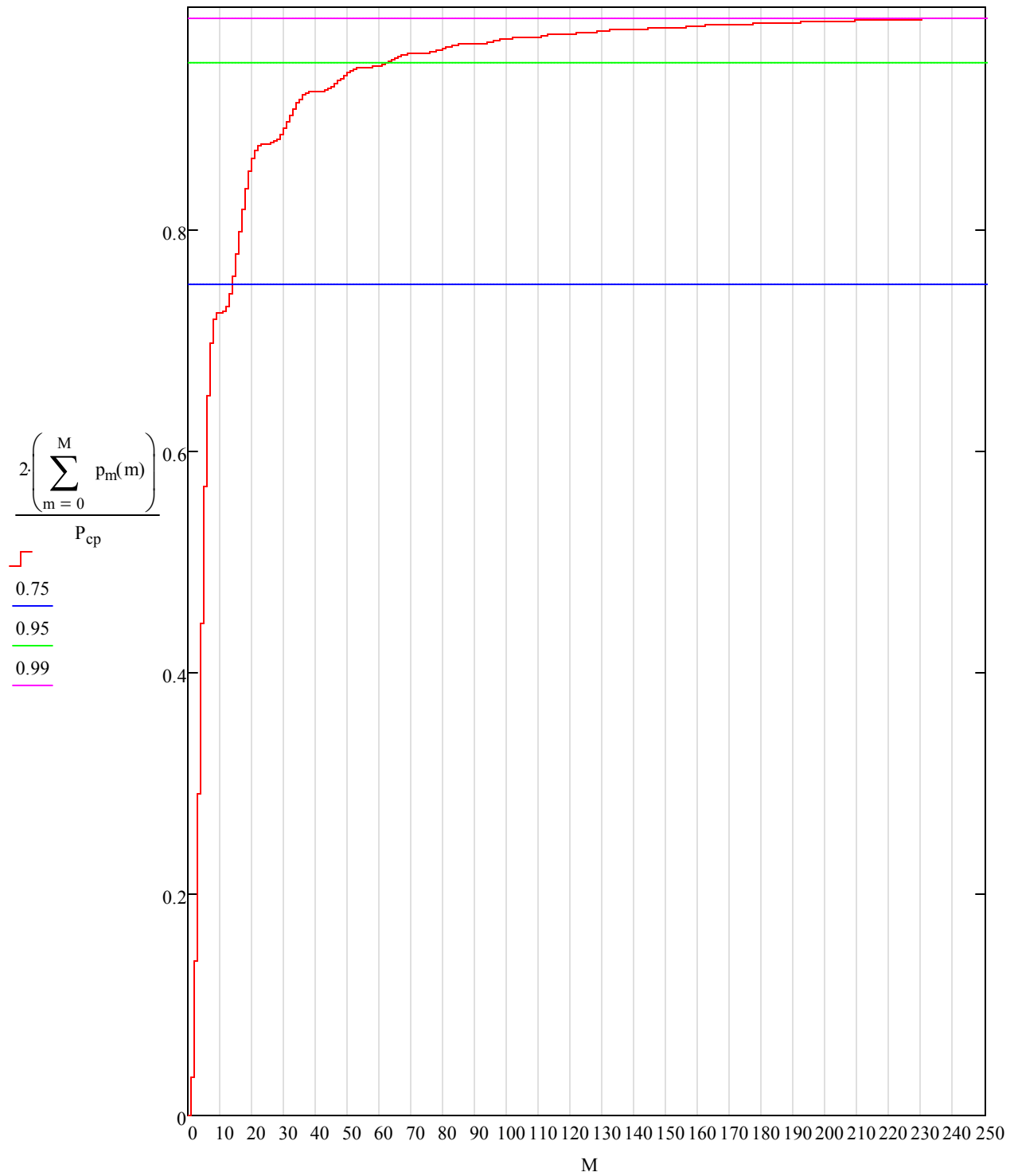
$$p_{\text{avg}} := \frac{1}{T} \cdot \int_{-\frac{T}{2}}^{\frac{T}{2}} (|s_T(t)|)^2 dt = 0.031 \text{ } B^2$$

$$p_{\text{avg}} := \sum_{m=-1000}^{1000} p_m(m) = 0.031 \text{ } B^2$$

7. Определим количество гармоник, которые составляют не менее 75, 95 и 99% мощности сигнала.

$M := 0..300$

Зависимость мощности сигнала от количества гармоник



$M75 := 14 \quad M95 := 65 \quad M99 := 245$

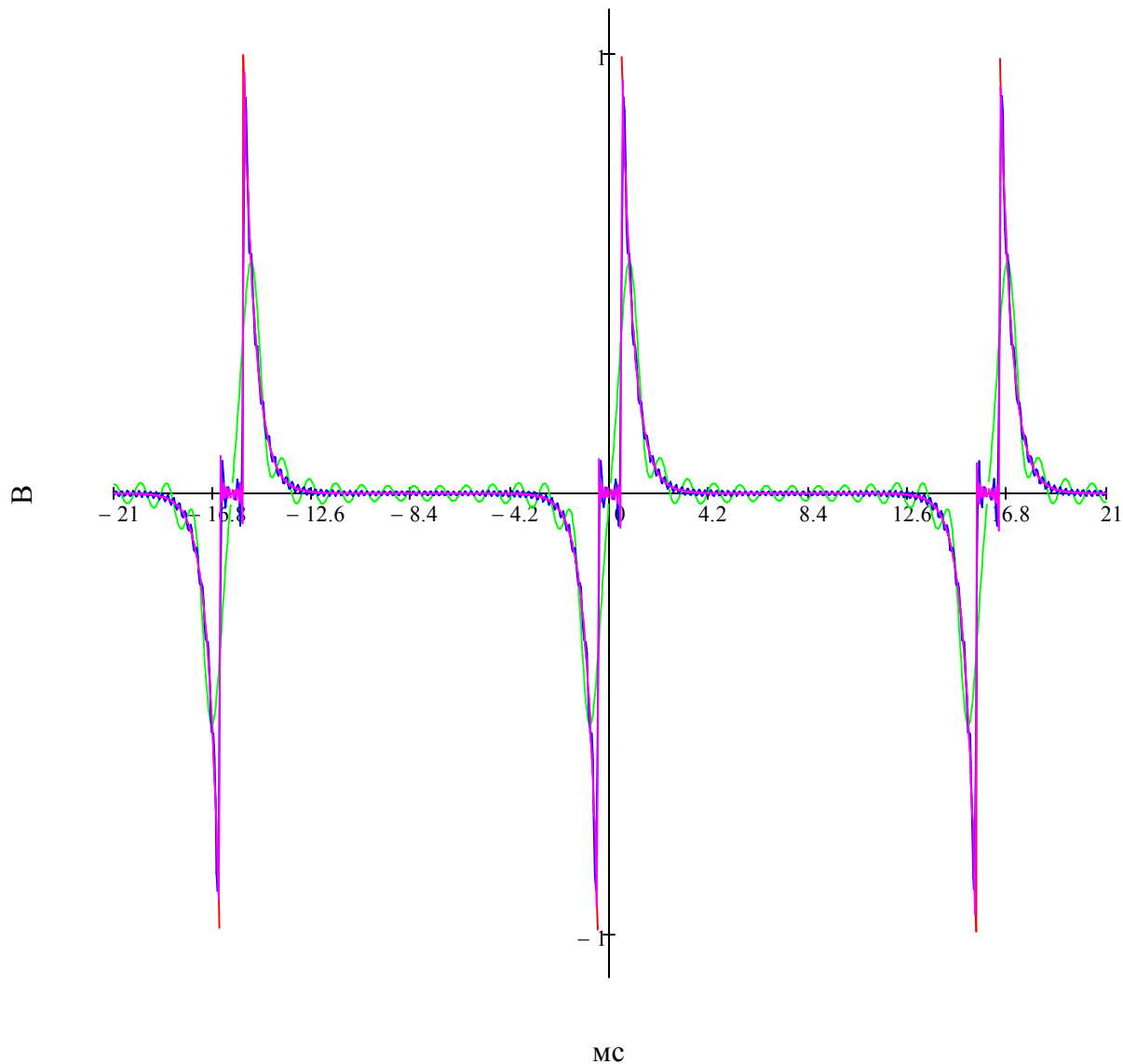
**8. Восстановим периодические сигналы по гармоникам, определенным в предыдущем пункте.**

$$s_{T75}(t) := \sum_{m = -M75}^{M75} \left( C_m(m) \cdot e^{i \cdot 2 \cdot \pi \frac{m}{T} t} \right)$$

$$s_{T95}(t) := \sum_{m = -M95}^{M95} \left( C_m(m) \cdot e^{i \cdot 2 \cdot \pi \frac{m}{T} t} \right)$$

$$s_{T99}(t) := \sum_{m = -M99}^{M99} \left( C_m(m) \cdot e^{i \cdot 2 \cdot \pi \frac{m}{T} t} \right)$$

Исходный сигнал, и восстановленные из части гармоник

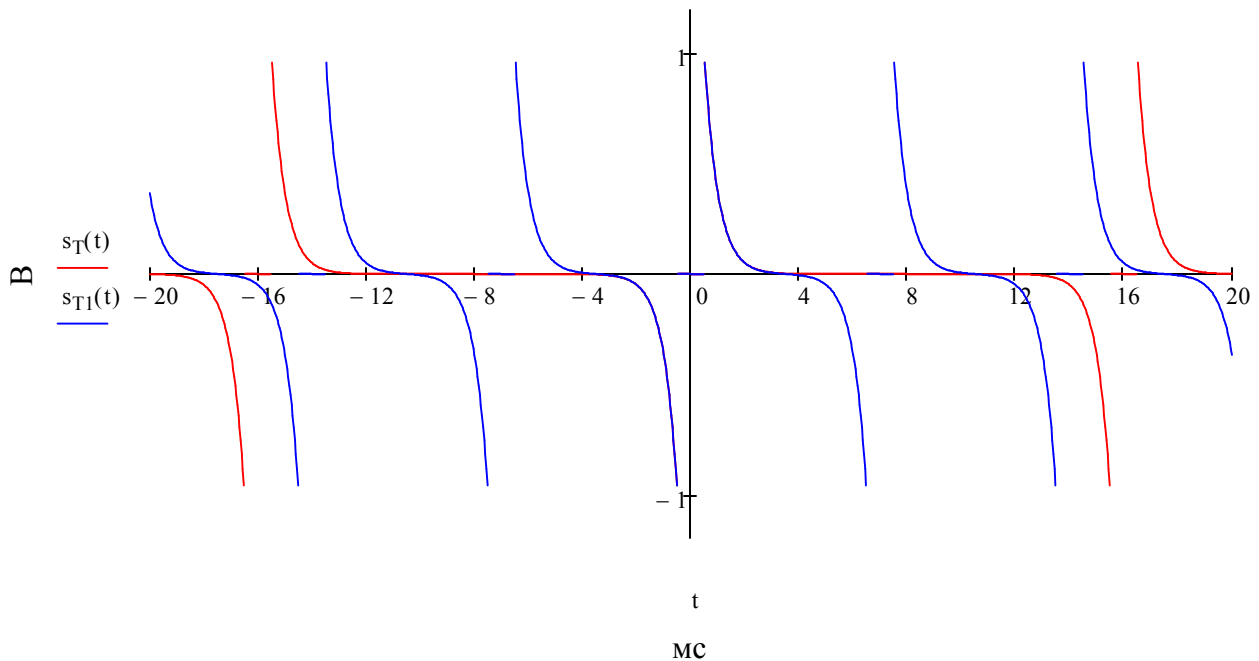


**9. Уменьшим период сигнала до 7 мс.**

$$T_{\text{new}} := 7 \text{ мс}$$

$$s_{T_1}(t) := \sum_{m=-30}^{30} s(t - m \cdot T)$$

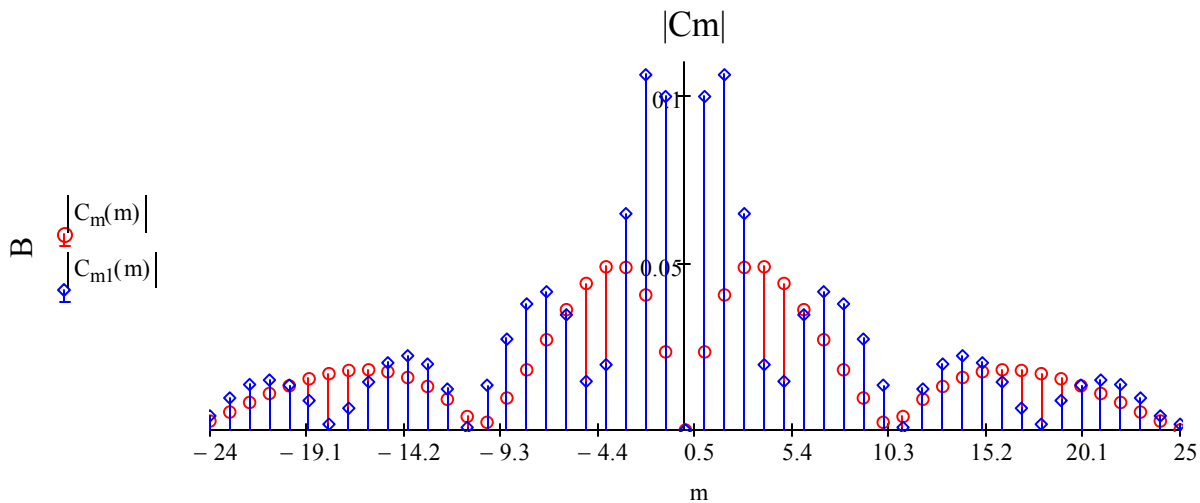
Исходный периодический и с измененным периодом

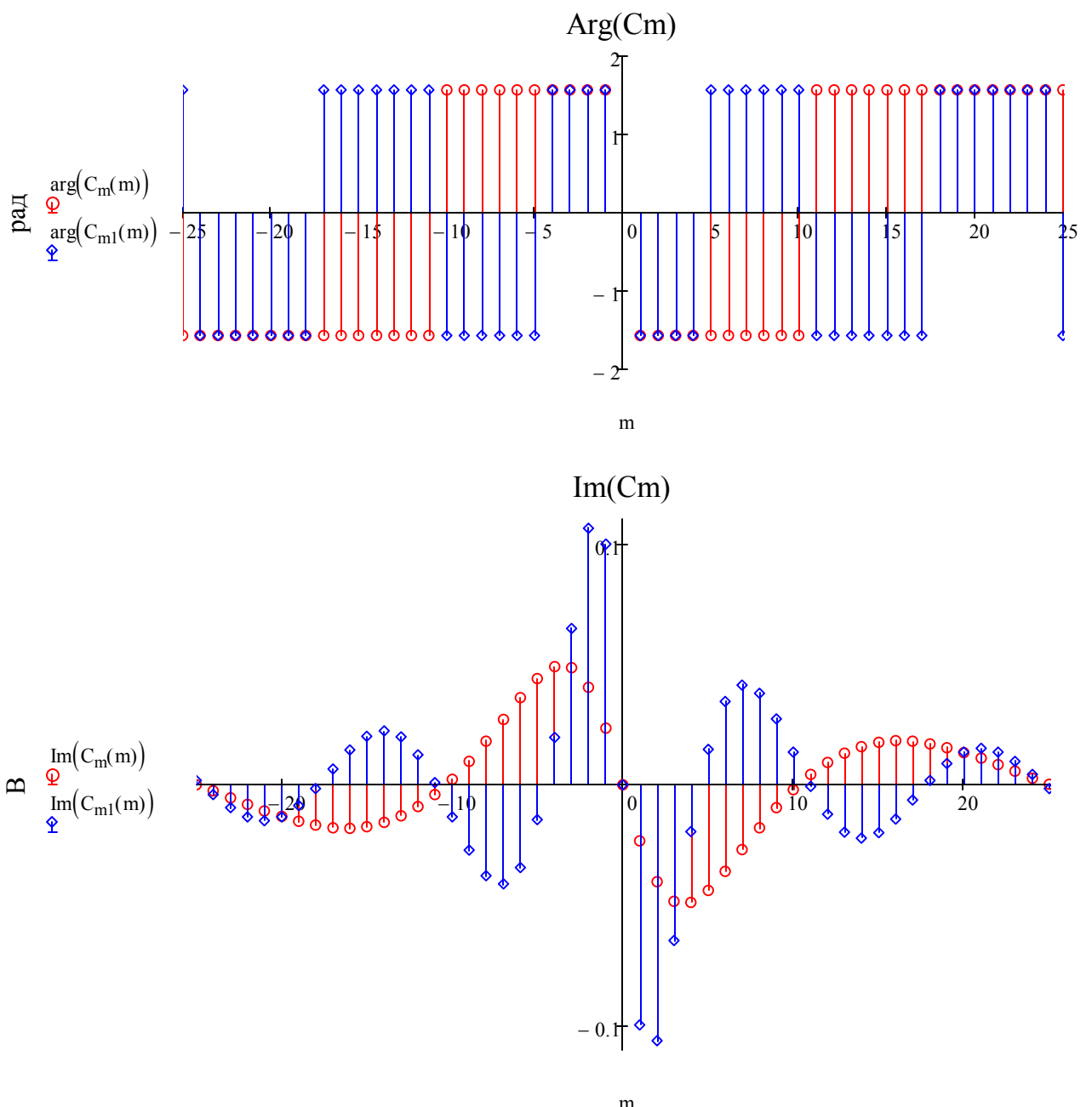


Комплексная форма:

$$m := -1000..1000$$

$$C_{ml}(m) := \frac{1}{T} \left[ \frac{-2A \cdot \left( \alpha \sin\left(2\pi \frac{m}{T} \cdot \Delta\right) + 2\pi \frac{m}{T} \cdot \cos\left(2\pi \frac{m}{T} \cdot \Delta\right) \right) \cdot i}{\alpha^2 + \left(2\pi \frac{m}{T}\right)^2} \right]$$

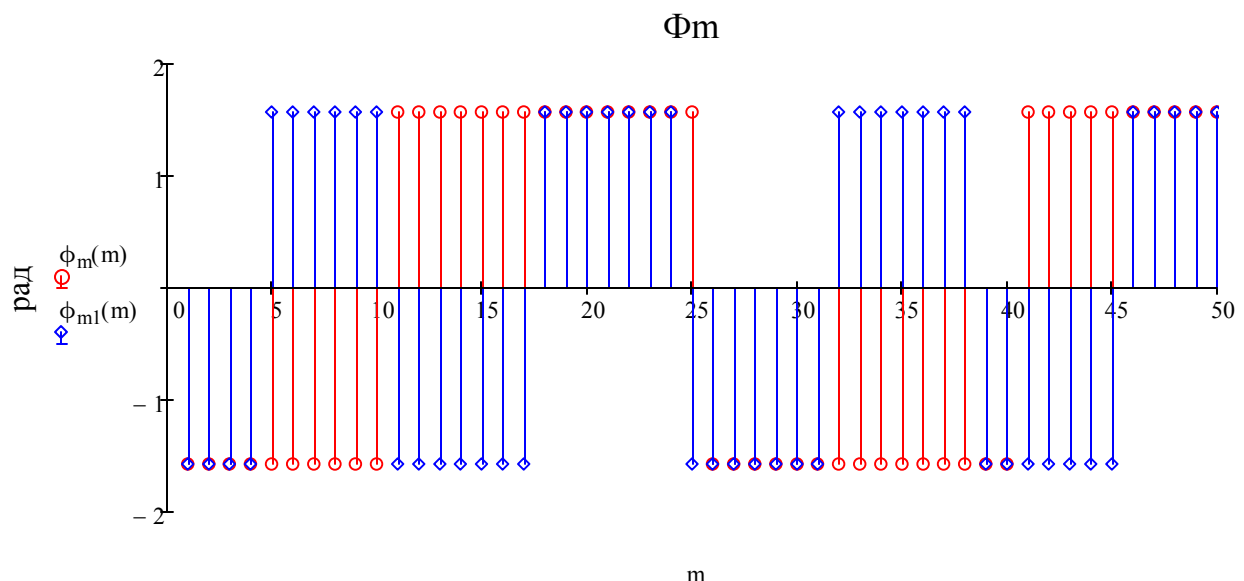
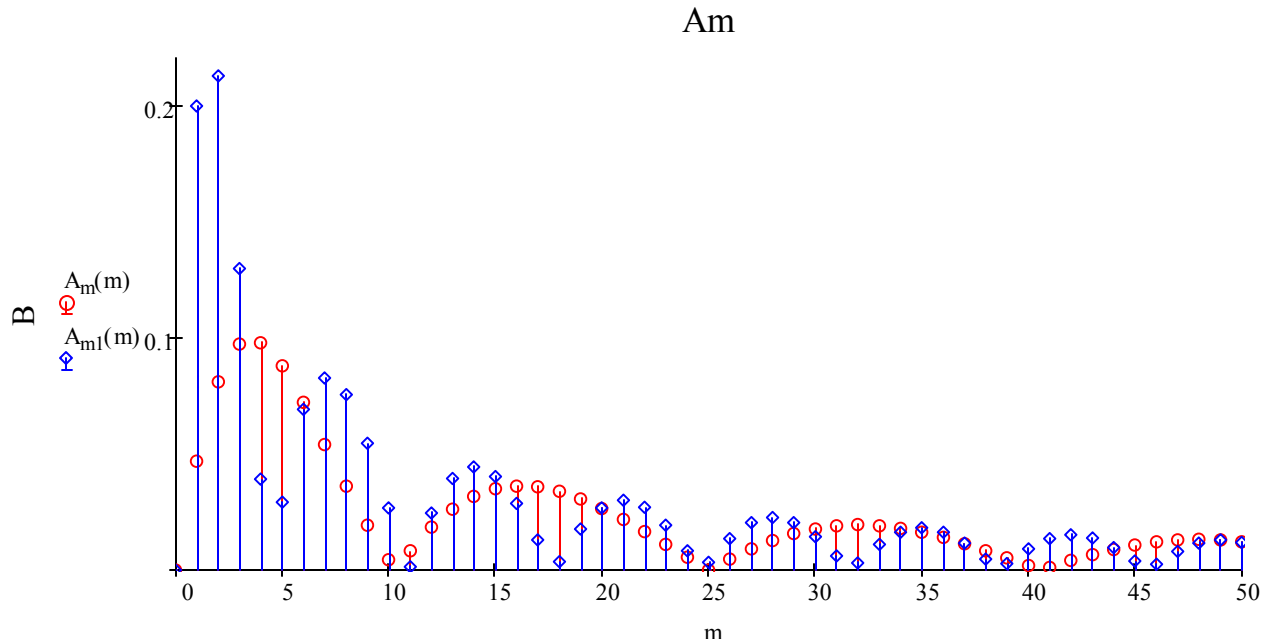




Амплитудно-фазовая форма:

$$A_{ml}(m) := \begin{cases} 2 |C_{ml}(m)| & \text{if } m > 0 \\ 0 & \text{if } m < 0 \\ |C_{ml}(m)| & \text{otherwise} \end{cases}$$

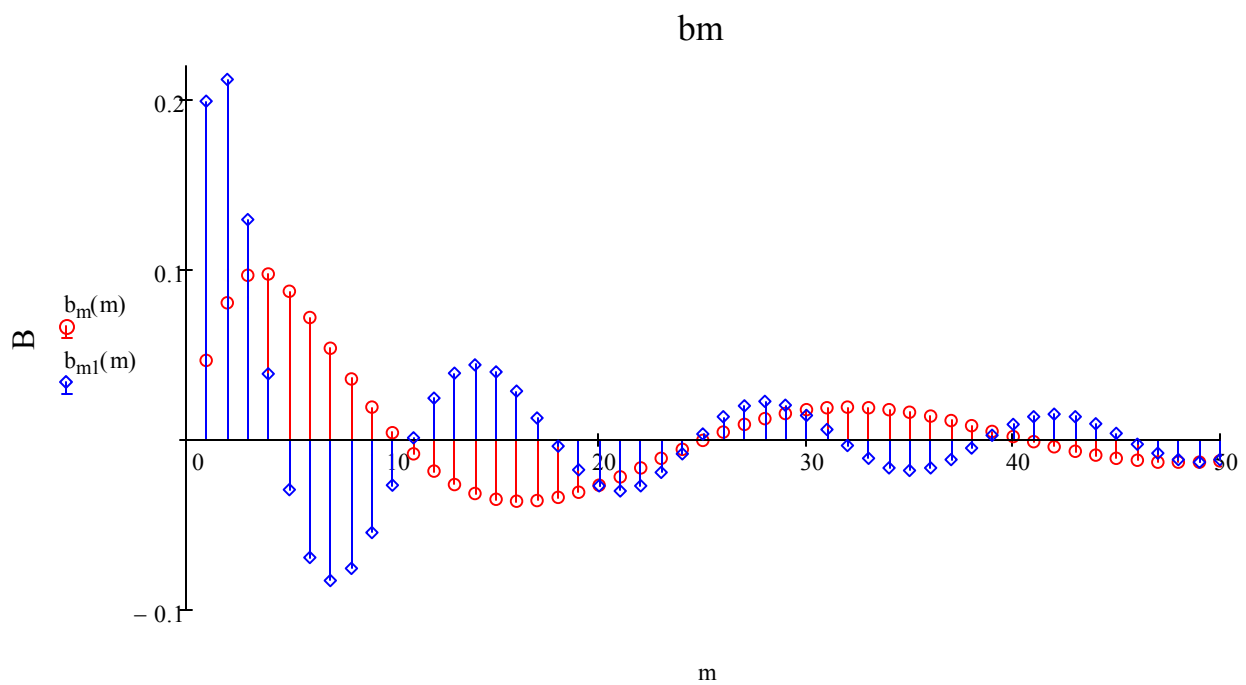
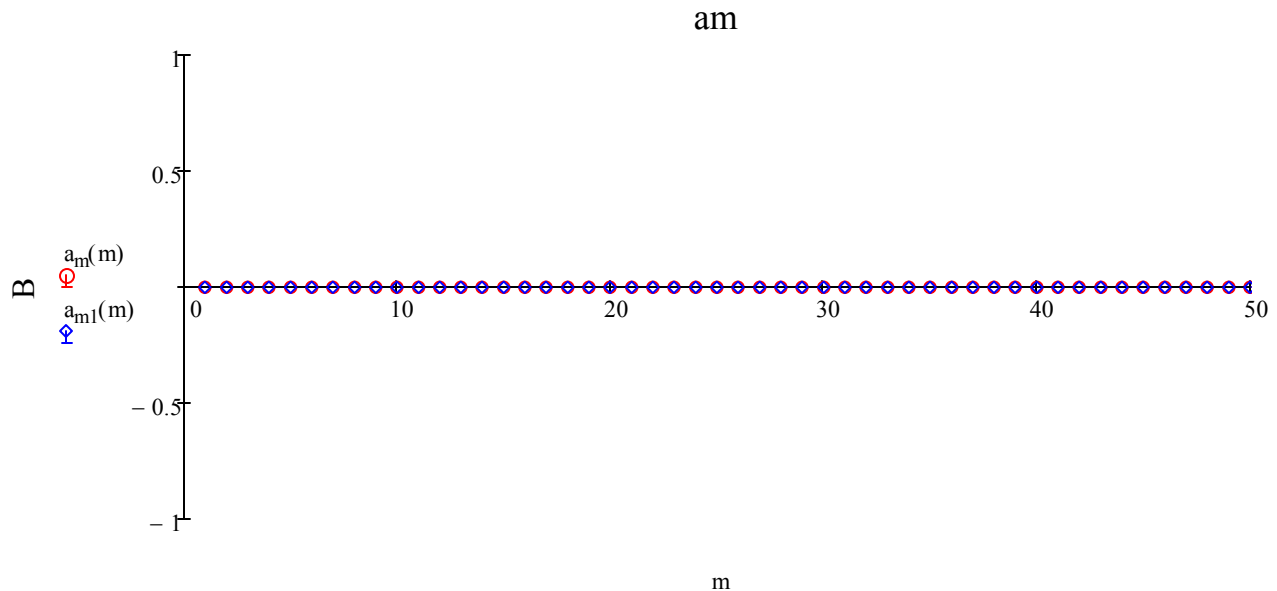
$$\phi_{ml}(m) := \begin{cases} \arg(C_{ml}(m)) & \text{if } m \geq 0 \\ 0 & \text{otherwise} \end{cases}$$



Квадратурная форма:

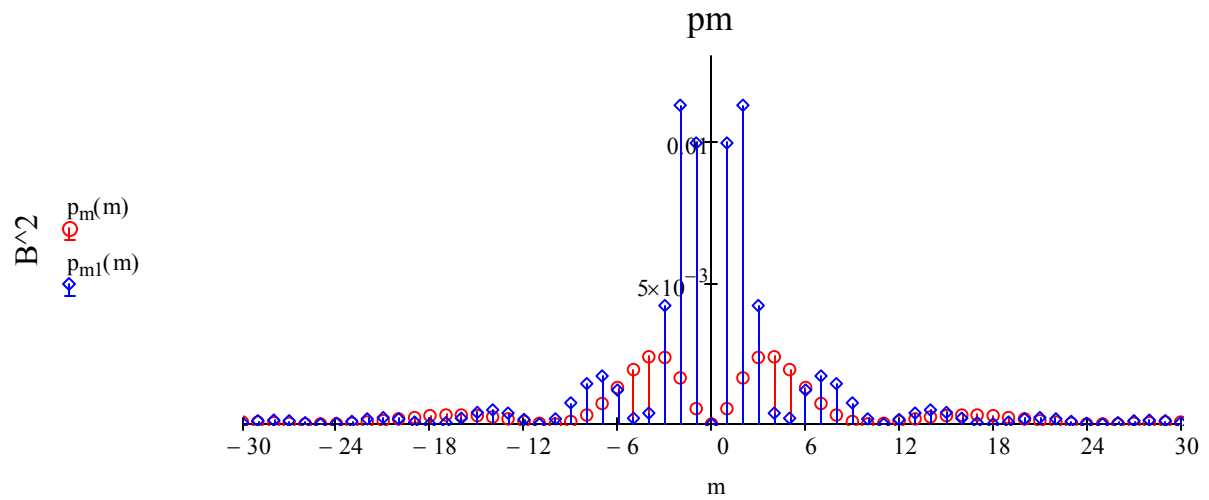
$$a_{ml}(m) := A_{ml}(m) \cos(\phi_{ml}(m))$$

$$b_{ml}(m) := -A_{ml}(m) \sin(\phi_{ml}(m))$$

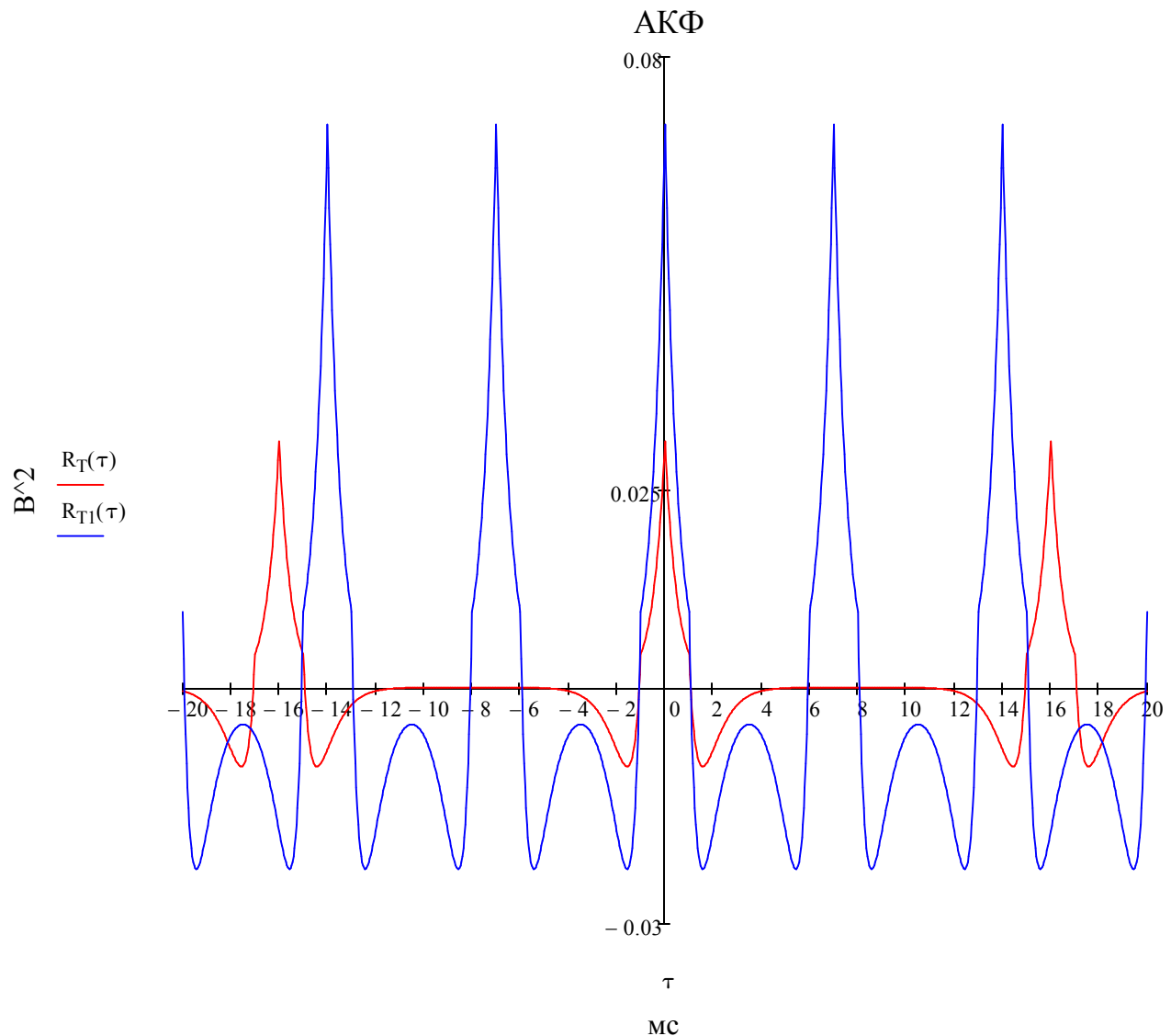


$$p_{ml}(m) := \left( |C_{ml}(m)| \right)^2$$

$$p_{ml}(m) := \left[ \left| \frac{1}{T} \left[ \frac{-2A \cdot \left( \alpha \sin\left(2\pi \frac{m}{T} \cdot \Delta\right) + 2\pi \frac{m}{T} \cdot \cos\left(2\pi \frac{m}{T} \cdot \Delta\right)\right) \cdot i}{\alpha^2 + \left(2\pi \frac{m}{T}\right)^2} \right] \right|^2 \right]$$



$$R_{T1}(\tau) := \frac{1}{T} \cdot \sum_{n=-10}^{10} R(\tau - n \cdot T)$$



$$P_{cp1} := \frac{1}{T} \cdot \int_{-\frac{T}{2}}^{\frac{T}{2}} (|s_{T1}(t)|)^2 dt = 0.071 B^2$$

$$P_{cp1} := \sum_{m=-300}^{300} p_{m1}(m) = 0.071 B^2$$

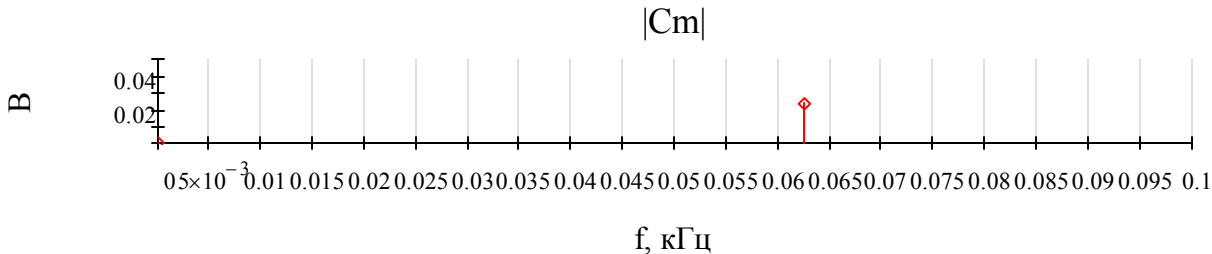
$$P_{cp1} := R_{T1}(0) = 0.071 B^2$$

## 10. Выводы.

При анализе заданного периодического сигнала можно отметить следующее:

1. Значение средней мощности, рассчитанное по сигналу, равна значению, рассчитанному по спектру мощности и составляет  $31 \cdot 10^{-3} \text{ В}^2$ . Это следует из теоремы Парсеваля. Так же значение АКФ в нуле равно  $31 \cdot 10^{-3} \text{ В}^2$ . Так как АКФ связана со спектром мощности ПФ и для двух этих функций работает свойство площади, то есть площадь под спектром мощности (что и является средней мощностью сигнала) равна значению АКФ в нуле. Период АКФ равен периоду сигнала.
2. Площадь периодического сигнала равна значению спектра в нуле, так как она равна нулю, Постоянная составляющая сигнала:  $Cm(0)=0$ . Так же как и у одиночного импульса, спектр периодического сигнала имеет только минимумную часть, но принимает дискретные значения. Каждая  $\delta$ -функция находится в точке  $m/T$ . Если посмотреть на график  $|Cm|$ , расположенный ниже, можно увидеть, что это расстояние примерно равно 62,5 Гц. период и частота имеют связь  $F*T=1$ , таким образом, мы получаем:  $1/62,5 \text{ кГц}=16 \text{ мс}$  - период заданного периодического сигнала.

$$T := 16 \text{ мс}$$



3. Если посмотреть на квадратурную форму, можно заметить, что отсутствует косинусная составляющая сигнала. Так же по комплексной форме видно, что из-за нечетной симметрии сигнала, гармоники косинуса тоже отсутствуют. Это объясняется тем, что одиночный импульс чисто действительная и нечетная функция.
4. Если обратить внимание на сигналы восстановленные из спектра вблизи скачков, можно увидеть эффект Гиббса, так же как и у одиночного импульса. Но по сравнению с одиночным импульсом, амплитуда "выбросов" уменьшилась и они наблюдаются только вблизи оси абсцисс

При анализе изменений характеристик сигнала, вследствие уменьшения периода сигнала до 7мс, можно сделать следующие выводы:

1. Расстояние между  $\delta$ -функциями спектра сигнала увеличилось с  $1/16=62,5 \text{ кГц}$  до  $1/7=143 \text{ кГц}$ . То есть при уменьшении периода сигнала, частота колебания гармоник увеличивается, и наоборот.
2. Спектр и спектр мощности сигнала "колеблются" с большей частотой (примерно в 2 раза), но вблизи нуля амплитуда выросла примерно в 2 и 4 раза соответственно. Средняя мощность сигнала увеличилась до  $0,071 \text{ В}^2$
3. Значение АКФ в нуле увеличилось до  $0,071 \text{ В}^2$ , что соответствует изменению средней мощности сигнала. Так как период сигнала стал меньше его физической длительности, следовательно одиночные импульсы накладываются друг на друга. Вслед за уменьшением периода сигнала, уменьшился и период АКФ. Как видно из графика у того сигнала, период которого меньше, АКФ не имеет нулевого участка между максимумами. Это происходит из-за того, что ее физическая длительность меньше периода и наблюдается наложение АКФ соседних периодов.